

<http://www.geojournals.cn/georev/ch/index.aspx>

## 科技述评

### 激浪流及其发生

——海岸地貌学基本理论问题之一

张希聪 吴祈贤

激浪流及其发生是海岸地貌学的基本理论问题之一。众所周知，当波浪到达海岸带水下岸坡浅水区的破浪点时，继波浪破碎而产生海水水体迎岸坡向上运动的水流，称为激浪流。激浪流虽然也具有波浪的外形，但实际上已摆脱了波浪运动的一般规律。正是它异于一般的波浪，故有的称其拍岸浪，有的称其为涛。理论上，又因为激浪流的发生与海岸带水下岸坡的泥砂的纵向运动密切相关，所以，对它的观察、研究虽早已开始，但是，由于没有注意到波浪进入浅水区后所发生的波能转换过程比较复杂，故对激浪流发生时的原动力得不到较为科学的解析。尤其是北京大学等七校地理系《地貌学》<sup>1)</sup>编者，不仅仍束缚于五十年代苏联B. II. 曾科维奇那种传统的简单的力的观点来讨论激浪流的发生，并错误地提出：“在惯性力作用下（发生）沿坡向上的（是激浪流）进流”的理论。这显然是不符合力学的基本原理的。无需赘述，所谓惯性力即为非惯性系统内所设想的力，这种设想的力是难以成为发生迎坡向上的进流的动力的。以下我们试以能量转换的方式来讨论激浪流的发生。

当波浪运动进入浅水区后，若考虑到湍流的耗散效应，已知平均总能量守恒方程为：

$$\begin{aligned} & \frac{\partial}{\partial t} \left\{ \frac{1}{2} \tilde{U}_a \tilde{M}_a + \frac{1}{2} \rho g (h^2 - d^2) \right. \\ & \left. - \frac{\dot{M}_a^2}{2\rho(d+h)} + E \right\} + \frac{\partial}{\partial x_a} \left\{ \tilde{M}_a \left( \frac{1}{2} \tilde{U}_\beta^2 + gh \right) \right. \\ & \left. - \frac{1}{2} \tilde{U}_a \frac{M_\beta^2}{\rho(d+h)} + U_a E + F_a + F_a + U_a + S_{ab} \right\} = 0 \end{aligned} \quad (1)^*$$

而一个振动运动的能量平衡方程为：

$$\begin{aligned} & \frac{\partial}{\partial t} \left\{ E - \frac{M_a^2}{2\rho(d+h)} \right\} + \frac{\partial}{\partial x_a} \left\{ U_a E + F_a \right. \\ & \left. - \frac{\tilde{U}_a M_\beta^2}{2\rho(d+h)} \right\} + S_{ab} \frac{\partial U_\beta}{\partial x_a} = -\epsilon \end{aligned} \quad (2)$$

由(1)减(2)便求得平均流动的能量平衡方程(考虑到粘性效应)

$$\frac{\partial}{\partial t} \left\{ \frac{1}{2} \tilde{U}_a \tilde{M}_a + \frac{1}{2} \rho g (h^2 - d^2) \right\} + \frac{\partial}{\partial x_a}$$

$$\left\{ \tilde{M}_a \left( \frac{1}{2} \tilde{U}_\beta^2 + gh \right) \right\} + U_\beta \frac{\partial S_{ab}}{\partial x_a} = U_a \tau_a \quad (3)$$

现在令 $\zeta$ 表示流体元的垂直位移(以向上为正)、自由表面处 $Z = \zeta$ ，水底 $Z = -d$ ，平均水平面 $\bar{\zeta} = h$ ，我们就可以求得平均流动的动量为：

$$\hat{M}_a = \int_{-d}^{\zeta} \rho U_a dZ = \rho U_a (d + h) \quad (1')$$

波动的动量为：

$$M_a = \int_{-d}^{\zeta} \rho u'_a dZ \quad (2')$$

单位面积上的总水平动量为：

$$\tilde{M}_a = \hat{M}_a + M_a \quad (3')$$

平均输送速度为：

$$\tilde{U}_a = \frac{\tilde{M}_a}{\rho(d+h)} = U_a + \frac{M_a}{\rho(d+h)} \quad (4')$$

非定常运动所产生的额外动量通量 $S_{ba}$ 为：

$$\begin{aligned} S_{ab} = & \int_{-d}^{\zeta} (\rho u'_a u'_b + p \delta_{ab}) dZ - \frac{1}{2} \rho g (d+h)^2 \delta_{ab} \\ & - \frac{M_a M_b}{\rho(d+h)} \end{aligned} \quad (5')$$

单独由振动产生的平均能量通量为：

$$F = \rho \int_{-d}^{\zeta} u'_a \left\{ \frac{1}{2} u^2 + g(Z-h) + p/\rho \right\} dZ \quad (6')$$

这样，我们就可以从连续方程：

$$\frac{dp}{dt} + \rho \nabla \cdot \vec{u} = 0 \quad (7')$$

动力学基本方程：

$$-\rho \vec{g} \cdot \vec{u} = \rho g \frac{d\zeta}{dt} \quad (8')$$

1) 《地貌学》指北京大学、南京大学、上海师范大学、兰州大学、杭州大学、西北大学和中山大学等七校地理系所合编，由人民教育出版社1978年出版、多次印刷的高等学校教科书。

\* 我们知道速度场 $\vec{u}$ 可以看作是平均部分与振动部分之和，即 $\vec{u} = \vec{U} + \vec{u}'$ 。

本文1985年10月收到，1986年2月改回，罗正华编辑。

以及相对于转动着的地球为静止坐标系的动量方程:

$$\rho \frac{d\vec{u}}{dt} + \rho \vec{\Omega} \times \vec{u} + V\rho - \rho \vec{g} = \vec{f} \quad (9')$$

推导出平均总能量守恒方程式(1)。式中的下脚标 $\alpha$ 和 $\beta$ 分别等于1和2。且(1)式 $E$ 为非定常运动的能量密度。

方程式(3)的各项分别表示平均运动的动能和势能的时间变化率, 平均流动能量的通量, 以及反抗振运动与界面应力所作的功的功率。反映了动能与势能的变化关系。但是, 在波浪破碎的前后, 波场开始混乱, 其能量的转换过程远远复杂得多, 复杂情况之一可从下列事实看出: 即当波浪进入浅水区时, 特别在

另外, 此时可形成从海向陆的倾斜海面。同时, 在波面上的某些流体元在相当于波浪传播方向上, 具有相对速度。所以, 有可能使有些流体元以小水滴的形式向前飞出, 就发生了波浪破碎, 这时由于重力作用, 水体下落, 除了部分能量损耗外, 其余能量均转为动能, 根据能量守恒, 即有:

$$E_{\text{势}} = E_{\text{动}} + E_{\text{耗散}}$$

这样的动能向四周辐射, 而其中一部分对近岸水体做功, 压迫水体向海岸流动, 就发生了激浪流。由此可见, 上述使水体做功的力, 就是激浪流的进流的动力, 记作 $F$ 。

显然, 每当某一次激浪流运动开始时,  $F$ 值很大, 但随着运动的延续和能量的消耗, 进流推力 $F$ 逐渐变小, 乃至为零。 $F$ 的方向大致与当地海岸线(带)附近的波向线相同。

同时, 发生激浪流运动时, 由于湍流及海底的摩擦, 不仅 $F$ 变小, 而且有部分水流沿岸坡返回向海的回流。引起这一回流的力是前进水体质点的自身重力的切向分量, 其大小不变, 而方向恒为沿坡切向而向海。所以, 每一次激浪流的发生, 都是存在着迎岸坡向上的进流和顺岸坡向下的回流。进流开始于该次激浪流的发生, 结束于主要因湍流使激浪流的能量耗尽时。而回流贯穿于该次激浪流运动的全过程。仅当在激浪流运动发生的初期, 由于动能很大,  $F$ 也很大, 而构成回流的水质点集合体很小, 使回流不显著而已; 当运动末期, 能量全部耗尽, 回流的形式就显得清晰。于是, 也就完成了激浪流运动的某一次的发生过程。

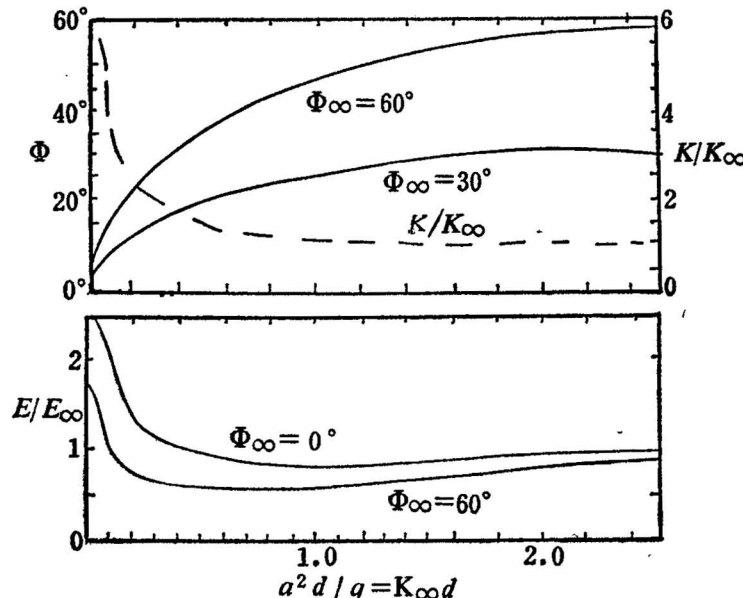


图1 当波动向岸传播时, 入射角 $\Phi$ 、当地波数量值 $K$ 和能量密度 $E$ 随水深的变化

上图纵坐标为 $\Phi$ (左侧)和 $K/K_\infty$ (右侧); 下图纵坐标为 $E/E_\infty$ , 横坐标上

下图均为 $a^2 d / q = K_\infty d$ ,

破浪点(带)附近, 波高和波长都有显著的变化, 对应地水质点运动轨迹也发生变化, 使得局部能密度有突发性增加, 使波的前锋不断发生变陡的现象, 从而很快地导致波浪的倒卷, 这时动能也逐渐转为势能, 而且随着水深的减小, 势能也越来越大。图1<sup>(1)</sup>从理论上反映了这一转换关系。图中当地的波数 $K$ 、入射角 $\Phi$ 和能量密度 $E$ 均为当地水深 $d$ 的函数。随着水深之减小, 且当 $\Phi \neq 0$ 时, $E/E_\infty$ 值也变小, 则势能变大。

## 参 考 文 献

- [1] Philips, O. M., 1977, The dynamics of the upper ocean. Syndics of the Cambridge University Press. Second edition, pp. 71—86.
- [2] 前田明夫, 1983, 海洋译丛, 第三期, 第26页。
- [3] 程守株、江之永, 1978, 普通物理学。第70页, 117页, 人民教育出版社。
- [4] 北京地质学院, 1961, 地貌学等第四纪地质学。第116页, 中国工业出版社。